

層流。二次不安定機構

航技研 伊藤信毅

1. 序

境界層における層流から乱流への遷移は比較的周波数の低い二次元波動、いわゆる Tollmien-Schlichting 波動が発生で始まる。この波動は下流に進むにつれて増幅され、それと同時に流れに直角な大半円方向にはじめ周期的に変化する三次元波動に変形される。三次元変形を受ける波動は二次元波のときより大きな増幅率で成長し、その振幅がある程度の大きさに達すると、はじめの波動に比べて周波数の一段高い波動が局所的に発生する。局所的高周波波動は下流に流れるにつれてさらに周波数の高い波動に分裂を繰返し、短時間のうちに乱流スポットを形成する。以上の遷移過程は Klebanoff 等¹⁾の実験で明らかにされたものである (Tani²⁾ の概説参照)。このうち、二次元波の発生と成長については線型および非線型安定理論によつて理論的説明が与えられた。また、二次元波から三次元

波への移行についても筆者⁶⁾の最近の研究によつてかなりの部分が理論的に解明された。これに対して、局所的高周波波動の発生機構についてはまだ十分満足のいく理論が得られていない。本研究の目的は高周波擾乱の発生と理論的に記述し、その特性を調べることである。

Tollmien-Schlichting 波が層流の第一次的な不安定の結果として発生するものであるのに對し、高周波波動の発生は境界層の速度分布が低周波波動によって瞬間的局所的に不安定な形に歪められるために生じる二次的な不安定現象であると推測される⁷⁾。このような観察から進められた二次不安定の理論の中で最も注目されるものは Landahl⁸⁾の研究である。彼は低周波波動の上に微小な高周波擾乱を重ね合せ、Whitham⁹⁾の運動学的波動理論を適用して高周波擾乱の増幅条件を導いた。しかし、本来非散逸系の波動を対象とする Whitham の理論を散逸系の二次不安定問題に直接適用しようとしたため、Landahl⁸⁾は散逸を十分小さなものと仮定する近似的解法を用いた。その近似法が不十分であることは Stewartson¹⁰⁾によって指摘された。

本研究では Landahl の方法を厳密化するためには、Whitham の理論を散逸系問題にも適用できるように拡張し、それを用いて層流、二次不安定条件を明らかにする。

2. 支配方程式

境界層流れに比べて理論的取扱いの簡単な平行平板間の二次元流れを考へる。平板間の中心線に沿って主流方向に x 軸、平板に垂直な方向に y 軸、対応する速度成分を u, v とする。流れ函数 Ψ を用いて二次元の運動方程式を書き、

$$\left(\frac{\partial}{\partial t} + \frac{\partial \Psi}{\partial y} \frac{\partial}{\partial x} - \frac{\partial \Psi}{\partial x} \frac{\partial}{\partial y} - \frac{1}{R} A \right) \Delta \Psi = 0 \quad (2.1)$$

ただし $A = \partial^2/\partial x^2 + \partial^2/\partial y^2$ 、すべての量は平板間の半幅 h と流れが定常層流であるときの最大流速 U_0 で無次元化されていく。また、 $R = U_0 h / \nu$ は Reynolds 数 (ν : 動粘性係数)。

(2.1) の定常層流解は Poiseuille 流で、その流れ函数は y だけに依存する。一方、Tollmien-Schlichting 型低周波擾動は線型および非線型の層流安定理論から定まり、 α, c_r, θ は波数、位相速度、位相定数であるとき、その流れ函数は $\alpha(x - c_r t) + \theta$ の周期函数になる。ただし、波の振幅 A は t とともに減少する変化であるであってもよい。すなはち、波の對数増幅率を αc_r とするとき、 $|c_r|$ が α に比べて十分小さい場合を考へる。定常層流と低周波擾動を重ね合わせた基本流を考へ、その流れ函数を $\Psi_0(y, \alpha x - \alpha c_r t + \theta, A)$ と書き、その上に重ねられた高周波擾乱の流れ函数を $\psi(x, y, t)$ とする。 $\Psi = \Psi_0 + \psi$ に代入し、 Ψ 自身が (2.1) の解であることおよび擾乱が微小であることに注意すると、つきの線型擾乱方程式が得られる。

$$\left\{ \left(\frac{1}{R} A - \frac{\partial}{\partial t} - \frac{\partial \Psi_0}{\partial y} \frac{\partial}{\partial x} + \frac{\partial \Psi_0}{\partial x} \frac{\partial}{\partial y} \right) A - \frac{\partial A \Psi_0}{\partial x} \frac{\partial}{\partial y} + \frac{\partial A \Psi_0}{\partial y} \frac{\partial}{\partial x} \right\} \psi = 0 \quad (2.2)$$

ψ に対する境界条件は $y=\pm 1$ で搅乱速度が 0 になることであるが、ここでは層流安定理論ではしばしば行かれよう、 x 軸に因って反対称の搅乱だけを考元、つまのように考える。

$$y=0 \text{ で } \frac{\partial \psi}{\partial y} = \frac{\partial^2 \psi}{\partial y^2} = 0, \quad y=1 \text{ で } \frac{\partial \psi}{\partial x} = \frac{\partial \psi}{\partial y} = 0 \quad (2.3)$$

搅乱方程式の解として、波数・振動数がそれと $\alpha < \alpha_{cr}$ に比べて十分大きい値を持つ波動を考元。いま、低周波波動、位相速度 c_r で動く座標を導入し

$$\xi = \alpha(x - c_r t) + \theta, \quad \tau = \alpha t \quad (2.4)$$

とおくと、この問題は ξ 方向にゆるやかに変化する媒体中で伝播する波動の問題となる。 α は媒体の変化のゆるやかさを示す尺度である。そこでは Whitham⁽¹⁰⁾ の運動学的波動理論によつて解をつける形におく。

$$\psi = \exp \left\{ \frac{i}{\alpha} \Phi(\xi, \tau) \right\} \sum_{n=0}^{\infty} \alpha^n A_n(\xi, \tau) \phi_n(y, \xi, \tau) \quad (2.5)$$

ただし、 ϕ_n はつきのよう正规化されておつとす。

$$\phi_n(0, \xi, \tau) = 1 \quad (n = 0, 1, 2, \dots) \quad (2.6)$$

搅乱の波数・振動数は

$$k(\xi, \tau) = \frac{\partial \Phi}{\partial \xi}, \quad \omega(\xi, \tau) = -\frac{\partial \Phi}{\partial \tau} \quad (2.7)$$

で定義され、これらのはつきの関係が成り立つ。

$$\frac{\partial k}{\partial \tau} + \frac{\partial \omega}{\partial \xi} = 0 \quad (2.8)$$

(2.5) で表わされる搅乱は、短かい尺度の座標系 (x, t) から見ると

ときには、局所的には一定の波数、振動数および振幅を持つ波であるが、それらは長さ尺度 (ξ, η) とともに変化し、全体としてはある波数分布を持つ波束を表している。現実の流れに現われる微小擾乱をやはり局所的波束とみなせらる、(2.5)の表現は現実的なものと思われる。

(2.5) を (2.2) に代入し、 α の各べきの係数を 0 に等しく置くと、無限個の方程式系が得られる。こゝうち最低次の係数から定まる方程式はいわゆる Orr-Sommerfeld 方程式になる。

$$\left[\left\{ \frac{1}{R} \left(\frac{\partial^2}{\partial y^2} - k^2 \right) + i(\omega + kC_r) - ik \frac{\partial W_0}{\partial y} \right\} \left(\frac{\partial^2}{\partial y^2} - k^2 \right) + ik \frac{\partial^3 W_0}{\partial y^3} \right] \phi_0 = 0 \quad (2.9)$$

これは y に関する同次型常微分方程式であり、同次型境界条件 (2.3) とともに、 $\omega \in k, \xi, A, R$ の函数として定まる固有値問題を形成する。いま、 $A \times R$ をパラメタに見なせば、この問題を解いて得られる關係

$$\omega = W(k, \xi) \quad (2.10)$$

は ξ 方向にゆっくり変化する媒体中で伝播する波の分散関係式と考えられる。したがって、これを (2.8) に代入すれば、波数 k の振舞を支配する非線型方程式が定まる。

$$\frac{\partial k}{\partial \xi} + C(k, \xi) \frac{\partial k}{\partial \xi} = \Omega(k, \xi) \quad (2.11)$$

$\Omega = \Omega$ 、 $C \times \Omega$ は ξ のように定義された函数である。

$$C(k, \xi) = \frac{\partial W}{\partial k}, \quad \Omega(k, \xi) = -\frac{\partial W}{\partial \xi} \quad (2.12)$$

もし W が実数値だけを取る函数ならば、すなはち、もし系

が散逸を持たないならば、(2.11)は群速度 C で伝わる通常の波束を表めし、 k は実数の範囲だけで取扱われてよい。ところが、(2.9)の固有値のは一般に複素数値を取るため、函数 W 、 C 、 Ω もすべて複素数になり、方程式(2.11)をみたす k の実数解が一般には存在しないことになる。*Landahl*⁷⁾は W の虚部が十分小さいという仮定に基いて C と Ω の虚部を無視し、(2.11)の実数解を導いた。しかし、たゞ W の虚部が大きくて C と Ω の虚部が十分小さいとは言えない(文献 9 参照)。一方、 k を複素数としてもまま実数範囲で考えると、(2.11)は椭円型偏微分方程式となり、我々の希望する初期値問題に適合する解が得られない。

以上の難点を克服するため、 k を複素数にする同時に、

$$\xi = \bar{\xi} + i\eta \quad (2.13)$$

で定義される複素座標を導入し、(2.11)を拡張した方程式

$$\frac{\partial k}{\partial \bar{\xi}} + C(k, \xi) \frac{\partial k}{\partial \xi} = \Omega(k, \xi) \quad (2.14)$$

を解く。 $C(k, \xi)$ と $\Omega(k, \xi)$ は(2.12)において ξ を $\bar{\xi}$ で置き換えたものである。上式は双曲型方程式なので特性曲線法を利用した。実の座標 ξ を複素座標 $\bar{\xi}$ の一部分と見なし、(2.14)の解 $k(\bar{\xi}, \xi)$ が得られたら、そのうえ $\xi = 0$ における値だけが我々の目に見える物理現象を表していると考える。そのため、まず複素座標 $\bar{\xi}$ の解の一般的性質を調べる必要がある。

3. 特異点近傍における解の性質

方程式(2.15)は、特性曲線に沿う微分を考えることによって等価な連立常微分方程式に置き換えられる。

$$\frac{d\zeta}{dz} = C(k, \zeta), \quad \frac{dk}{dz} = \Omega(k, \zeta) \quad (3.1)$$

この系の一般解は4次元空間(k_r, k_i, ζ, z)における曲線群で表わされる。解曲線群の形状は、特異点、すなはち

$$C(k, \zeta) = 0, \quad \Omega(k, \zeta) = 0 \quad (3.2)$$

をみたす点の位置とその性質に強く支配される。以下では、一つの特異点が存在するものとし、その近傍における解曲線の形状を調べる。

特異点を0点と名付け、その座標を (k_0, ζ_0) とする。ただし $k_0 = k_{0r} + ik_{0i}$, $\zeta_0 = \zeta_{0r} + i\zeta_{0i}$ 。0点に座標原点を移す変換

$$k = k_0 + k', \quad \zeta = \zeta_0 + \zeta' \quad (3.3)$$

を行ない、 $C \times \Omega \in 0$ 点のまわりに展開するに、(3.1)は

$$\left. \begin{aligned} \frac{d\zeta'}{dz} &= C_k(k_0, \zeta_0)k' + C_\zeta(k_0, \zeta_0)\zeta' + O(k'^2, k'\zeta', \zeta'^2) \\ \frac{dk'}{dz} &= -C_\zeta(k_0, \zeta_0)k' + \Omega_\zeta(k_0, \zeta_0)\zeta' + O(k'^2, k'\zeta', \zeta'^2) \end{aligned} \right\} \quad (3.4)$$

と变形せよ。添字 k, ζ は偏微分を表す。 $k' \times \zeta'$ の2次微小項を省略し、 ζ は0点まわりに座標軸を回転する変換

$$\zeta_1 = \{C_\zeta(k_0, \zeta_0) - \sigma\}\zeta' + C_k(k_0, \zeta_0)k' \quad (3.5a)$$

$$k_1 = \Omega_\zeta(k_0, \zeta_0)\zeta' - \{C_\zeta(k_0, \zeta_0) - \sigma\}k' \quad (3.5b)$$

を行うと、(3.4)はつきのように簡単化される。

$$\frac{d\zeta_1}{dt} = -\sigma \zeta_1, \quad \frac{dk_1}{dt} = \sigma k_1, \quad (3.6)$$

ただし、 σ は $\sigma^2 = \{C_3(k_0, \zeta_0)\}^2 + C_k(k_0, \zeta_0) \Omega_3(k_0, \zeta_0)$, $\operatorname{Re} \sigma \geq 0$ で定義される。 (3.6) の解は、 B_1, B_2 を任意な複素定数として

$$\zeta_1 = B_1 e^{-\sigma t}, \quad k_1 = B_2 e^{\sigma t} \quad (3.7)$$

で与えられる。 σ が正の実部 σ_r を持つから、 ζ_1 は時間と共に振動しながら 0 に収束し、 k_1 は振動しながら発散する。振幅 $|\zeta_1|$ と $|k_1|$ の関係は図 1 のような双曲線群で表わされ、 0 点が鞍部类型の平衡点であることが判る。一つの双曲線上運動 ζ の速度は、曲線に沿って長さを s としたとき、

$$\frac{ds}{dt} = \left\{ \left(\frac{d|\zeta_1|}{dt} \right)^2 + \left(\frac{d|k_1|}{dt} \right)^2 \right\}^{\frac{1}{2}} = \sigma_r (|\zeta_1|^2 + |k_1|^2)^{\frac{1}{2}} \quad (3.8)$$

で与えられるから、 0 点からの距離に比例して速度は大きくなることがある。

いま、 1 軸の近傍のある点から出発する解を考えると、それは 1 軸に沿って速度を徐々に増すのが 0 点方向に進み、中へ入りと 0 点の山を通過した後、再び速度を増しながら 1 軸に沿って無限遠方に発散する。 0 点のより近傍を通過する解はより長い時間その近傍にとどまることがあるから、もし擾乱が 0 点近傍で時間的に増幅される性質がある場合には、擾乱は長時間の増幅を重ねて極度に成長する。このような状態は非常に強い不確定現象であるとみなせ。特性曲線に沿っての擾乱の時間的増幅率は

$$- \operatorname{Im} \left(\frac{d\Theta}{d\zeta} \right) = - \operatorname{Im} \left(\frac{\partial \Theta}{\partial \zeta} + C \frac{\partial \Theta}{\partial \bar{\zeta}} \right) = \operatorname{Im} \{ W(k, \zeta) - k C(k, \zeta) \} \quad (3.9)$$

で与えられ、とくに 0 点では $C=0$ であることに注意すると、0 点近傍での擾乱に対する不安定条件は次式で与えられる。

$$W^{(i)}(k_0, \zeta_0) > 0 \quad (3.10)$$

ここで、上添字 (i) は虚数部を表す。

4. 二次不安定条件

前節で得られた特異点近傍での不安定現象は層流の二次不安定と密接に関係しているように思われる。しかし、0 点が一般には複素座標空間内に存在するので、そこで生じた不安定がそのまま実空間(物理空間)での二次不安定を引き起こすとはかぎらない。我々が見ることのできる擾乱は 4 次元空間 $(k_r, k_i, \zeta, \dot{\zeta})$ 内の解曲線が平面 $\dot{\zeta}=0$ と交わる点に対応する状態だけであって、それ以外の点に対応する状態は我々の目に触ることのない虚空間中の擾乱の振舞いを表すにすぎない。そこで複素空間内の不安定現象が実空間内の二次不安定現象とのように結びつくかを調べる。

擾乱方程式(2.2)は実数パラメタ R と A を含むから、0 点の座標 k_0, ζ_0 および増幅率 $W^{(i)}$ もこれら 2 パラメタの函数である。したがって、0 点で擾乱が増幅も減衰もしない中立条件

$$W^{(i)} \{ k_0(R, A), \zeta_0(R, A); R, A \} = 0 \quad (4.1)$$

は R と A の関係を定める方程式を考えられる。これから (R, A) 座標面にあり一本の限界振幅曲線

$$A = A_N(R) \quad (4.2)$$

が定まり、 Ω 点での擾乱はこの曲線より下方で減衰し上方で増幅することになる。一方、 Ω 点が実空間に現われる条件

$$\varphi_0(R, A) = 0 \quad (4.3)$$

もまた (R, A) 面に一本の曲線を定める。いま、二曲線が図文に示されるように一対で交わるものとすれば、この対では Ω 点が実空間に存在し、かつそこでの擾乱は中立安定状態にある。曲線(4.3)上の $A > A_N(R)$ をみたす部分では、実空間中に存在する Ω 点の近傍で不安定が生じるから、それはそのまま二次不安定現象を見なされてよい。これに対し、(4.3)上で $A < A_N(R)$ をみたす部分では、 Ω 点が実空間に存在するものとすれば、その近傍で擾乱は減衰するため、流れは安定である。

つぎに、 Ω 点が実空間にはないが、平面 $\varphi=0$ の近傍に位置する場合を考える。いま、ある時刻 $\tau=0$ において実空間、すなわち平面 $\varphi=0$ 上に微小な擾乱が分布しているものとすれば、対応する複素波数 k との函数として表わすことができる。

(2.11) と (2.14) に拡張したことに対応して、この函数の独立変数 τ を複素変数 ζ で置き換えたものを考へ、これを初期条件とみたす。この拡張によつて初期条件は 3 面全域で定義される

$\varepsilon \rightarrow 0$ になると。各初期値から出発する解曲線のうち、0実の近傍を通過するものはその後 $\zeta_1 = 0$ 上の二次元多様体に漸近することができる (3.7) が示される。したがって、この漸近多様体と平面 $\zeta = 0$ の交線を ℓ とするとき、0実の近傍を通り抜けて擾乱は曲線 ℓ に近い位置で実空間に姿を現わす。もし、擾乱が0実近傍を通過する際に増幅をもってきたならば、そしてその後実空間までの道程で引き続きたまでは、擾乱は非常に大きな振幅を持ったまま実空間に現われることになり、0実での不安定が層流の二次不安定を引き起こすこととなる。0実が $\zeta = 0$ の近傍にある場合に、このような事態が生ずるかどうかを調べるには、解曲線が0実に無限に近い道すじを通つたあと実空間に現われた極限の道程、すなはち、漸近多様体 $\zeta_1 = 0$ 上での擾乱の増幅率を求める。 (3.9) に (3.3) を代入し、(3.5a) を 0 に等しいと置いた式を用いて k' を消去すれば、 $\zeta_1 = 0$ 上での増幅率は次式のように書ける。

$$-\operatorname{Im}\left(\frac{d\zeta}{dz}\right) = W^{(i)}(k_o, \zeta_o) - (k_{or} \sigma_i + k_{oi} \sigma_r) \zeta' - (k_{or} \sigma_r + k_{oi} \sigma_i) \zeta' + O(\zeta'^2, \zeta' \zeta, \zeta'^3) \quad (4.4)$$

擾乱が0実から実空間まで動くことに対応して ζ' は 0 から $-\zeta$ まで変わる。この範囲の ζ' に対して上式の右辺を常に正にするように ζ' を選ぶことは可能であるから、0実近傍で増幅された擾乱の中にその後も増幅され続けて実空間に現われる成

分がからず存在することがわかる。すなはち、 η_0 が大きければ、0点近傍では(3.10)がそのまま実空間における二次不安定のための必要かつ十分な条件になつてゐる。

これに対して、 η_0 が大きさとときは、たゞ元の0点近傍で擾乱が増幅されても、それが実空間に到達するまでの長の過程で減衰をせられる可能性もあるから、(3.10)は二次不安定の十分条件ではない。しかし、(3.10)が成立しないときは、0点近傍を通過する擾乱はそこですべて減衰してしまうし、0点から離れた道すじを通る擾乱はたゞ元実空間までの過程の途中で増幅されても、すべて有限時間内に実空間を横切って虚空間の遠方へ立ち去るから、実空間の流れは最終的に安定である。したがつて、(3.10)は η_0 が大きさの場合にも、二次不穩定のための必要条件にはなつてゐる。

結局、図2の曲線 $A = A_N(R)$ は一般には層流の二次不穩定に必要な振幅を与える、とくに正負の近傍では必要かつ十分な条件を表わしていることになる。

5. 限界振幅の近似計算

中立条件(4.1)から限界振幅 $A_N(R)$ を求めるには、まず基本流れを決定する必要がある。ここでは一つの試みとして、低周波波動が線型安定理論によつて近似できるものと仮定し、

$$\left. \begin{aligned} \Psi_0 &= F_0(y) + A \left\{ F_i(y) e^{i(\alpha x - \alpha c_r t + \theta)} + \tilde{F}_i(y) e^{-i(\alpha x - \alpha c_r t + \theta)} \right\} + O(A^3) \\ \frac{dA}{dt} &= \alpha c_r A + O(A^3) \end{aligned} \right\} \quad (5.1)$$

で表わされる基本流を考える。ここで、 \sim は共役複素数、 $F_0(y) = y - y^3/3$ は Poiseuille 流の流れ函数、 $c = c_r + i c_i$ と $F_i(y)$ は線型安定理論から導かれた Orr-Sommerfeld 方程式の固有値と固有函数である。固有函数は $F_i(0) = 1$ と正規化されているものとし、それに応じて振幅 A は低周波運動の流れ函数の $y=0$ における値を表す。

(5.1) に対応して、(2.9) の固有値と固有函数も A で展開して

$$\omega = W(k, \xi; A) = W_0(k) + A \left\{ W_i(k) e^{i\xi} + \hat{W}_i(k) e^{-i\xi} \right\} + O(A^3) \quad (5.2)$$

$$\phi_0 = f(y; k, \xi, A) = f_0(y; k) + A \left\{ f_i(y; k) e^{i\xi} + \hat{f}_i(y; k) e^{-i\xi} \right\} + O(A^3) \quad (5.3)$$

の形におく。 ϕ_0 が任意の A に対して (2.6) をみたすために条件

$$f_0(0; k) = 1, \quad f_i(0; k) = \hat{f}_i(0; k) = 0 \quad (5.4)$$

を課す。 (5.2) と (5.3) を (2.8) に代入し、 A^0 次の係数を 0 とおくと Orr-Sommerfeld 型方程式が得られる。

$$\left[\left\{ \frac{1}{R} \left(\frac{d^2}{dy^2} - k^2 \right) + i(W_0 + kc_r) - ik \frac{dF_0}{dy} \right\} \left(\frac{d^2}{dy^2} - k^2 \right) + ik \frac{d^3 F_0}{dy^3} \right] f_0 = 0 \quad (5.5)$$

これを境界条件 (2.3) の f_0 と比較すると、固有値 W_0 が k の函数として定まる、同時に f_0 が固有函数として得られる。つまり、 A^1 次の係数からは f_0 と f_i の非同次方程式が導かれる。

$$\angle f_i = ik \left\{ \frac{dF_i}{dy} \left(\frac{d^2}{dy^2} - k^2 \right) - \frac{d^3 F_i}{dy^3} \right\} f_0 - iW_i \left(\frac{d^2}{dy^2} - k^2 \right) f_0 \quad (5.6)$$

$$\angle \hat{f}_i = ik \left\{ \frac{d\tilde{F}_i}{dy} \left(\frac{d^2}{dy^2} - k^2 \right) - \frac{d^3 \tilde{F}_i}{dy^3} \right\} f_0 - i\hat{W}_i \left(\frac{d^2}{dy^2} - k^2 \right) f_0 \quad (5.7)$$

ただし、 L は (5.5) 左辺の微分作用素である。これらの方程式は右辺がべきの可解条件を満たすとただちに解くもつ。

$$W_1 \int_0^1 \Psi(y) \left(\frac{d^2}{dy^2} - k^2 \right) f_0 dy = k \int_0^1 \Psi(y) \left\{ \frac{dF_1}{dy} \left(\frac{d^2}{dy^2} - k^2 \right) - \frac{d^3 F_1}{dy^3} \right\} f_0 dy \quad (5.8)$$

$$\hat{W}_1 \int_0^1 \Psi(y) \left(\frac{d^2}{dy^2} - k^2 \right) f_0 dy = k \int_0^1 \Psi(y) \left\{ \frac{d\tilde{F}_1}{dy} \left(\frac{d^2}{dy^2} - k^2 \right) - \frac{d^3 \tilde{F}_1}{dy^3} \right\} f_0 dy \quad (5.9)$$

ここで、 $\Psi(y)$ は (5.5) に対応する隨伴固有函数である。上式から W_1 と \hat{W}_1 が k の函数として定まる。なお、微係数 W'_0 , W'_1 , \hat{W}'_1 等も (5.5)–(5.7) で k で微分したときに得られる方程式の可解条件から直接求めることができる。

以上で (5.2) の各項が定まつたので、 $\Im z$ に置き換元、 k と $\Im z$ で偏微分してそれそれ 0 に等しいと置くと $\Im z$ の実数部 $(k_0, \Im z_0)$ を決定する方程式が得られる。

$$W'_0(k) + A \{ W'_1(k) e^{iz} + \hat{W}'_1(k) e^{-iz} \} + O(A^2) = 0 \quad (5.10)$$

$$-iA \{ W_1(k) e^{iz} - \hat{W}_1(k) e^{-iz} \} + O(A^2) = 0 \quad (5.11)$$

同時に (5.2) の虚部 $\Im z = 0$ において中立条件を得る。

$$W_0^{(i)}(k) + A \operatorname{Im} \{ W_1(k) e^{iz} + \hat{W}_1(k) e^{-iz} \} + O(A^2) = 0 \quad (5.12)$$

本節の始めに述べた仮定にしたがい $O(A^3)$ 項を省略し、これらの方程式を繰返し法を用いて解いた。

以上、計算に現われる同次型および非同次型 Orr-Sommerfeld 方程式の解法は文献(1)に与えられている。数値計算は Reynolds 数 5000 から 50000 に対し、また、各 R に対して增幅率 αC_0 が最大値を取るような波数 α に対して行なわれ、結果は図 3 と図

4 に示されてゐる。よくに注意すべきことは図 3 に与えられてゐる η_0 の値が計算の範囲では常に負の値をとる点である。ただし、 R が約 10^5 程度の $\epsilon = 3 \times 10^{-6} = 0$ が達せられるものと予想される。したがつて、図 4 に与えられた限界振幅 $A = A_N(R)$ は層流、二次不安定に対する必要条件を示めすにすぎないと言える。しかし、 η_0 が高周波擾乱の代表的な長さの尺度、たゞえば、 $2\pi/k_{0r}$ あるいは $2\pi/R_{0i}$ 等に比べて十分小さいことを考慮すると、図 4 の曲線が二次不安定の必要十分条件を与えてゐることが期待できる。

つぎに、高周波擾乱が低周波波動の一周期の間のどの位置に発生するかを調べてみる。図 3 により η_0 が十分小さく値を取るから、0 点近傍を通過した後、擾乱が実空間に現れる位置は 0 点の座標 $y_0 = \pi/4$ に十分近いものと予想される。低周波波動の波頭 $y=0$ では、いわゆる critical layer $y=y_c$ における x 方向速度成分がはゞ最小値を取ることがわかつてゐるので、高周波擾乱が発生する点は基本流、速度 $U(y_c)$ が瞬間に最小値を取る位置から約 $\pi/4$ より下流にずれな所となることになる。図 5 はこの様子を模擬的に描いたものである。

6. 考察

層流、二次不安定現象は Tollmien-Schlichting 波が多程度大

くなって、三次元的な波に変形を経て後に生じることが実験¹⁾からは知られていい。しかし、低周波波動が三次元であることが二次不安定にとって必須条件であるかどうかは明らかでない。本研究では理論的な簡単ながら、二次元の低周波波動だけを基元だが、その結果、 λ と元基本流が二次元であっても、その変動成分、振幅がある限界値を超えれば、高周波擾乱の増幅、すなわち二次不安定が起り得ることがわかる。小さなスケールの高周波擾乱にとって最も重要な要素は自ら自身の分布域にある局所的な媒体の性質だけであって、媒体が大きなスケールで見たとき三次元的に変化するか三次元的に変化するかはあまり重要な要素ではないものと思われる。

また、現実の擾乱は三次元的な波束であると思われるが、本研究では擾乱もやはり二次元と仮定されていい。しかし、もし現実の擾乱が x 方向にだけ波動的な動きをして、 x パラメータの座標 y に対しては振幅がゆるやかに変化する程度の三次元性を持つ波束であるならば、ここに与えた理論はそのままそぞろうな波束の問題に適用できる。その場合には波数 k_x と振動数 ω は y に依存しない量としておしつかえないからである。又へ、依存は波束の形状すなわち(2.5)における A_0 を決定するという一段進んだ計算過程で始めて現れてくる。

前節に与えた数値結果はすでに述べたようにかなり粗い近似に基づくものではあるが、定性的には満足のいくものである。しかし、限界振幅 $A_N(R)$ が R と共に減少する点は強目に値する。しかし、定量的には多くを期待できない。振幅 A は低周波波動の流れ函数 $\psi = 0$ における値と定義されているが、実験で測定された波の大きさは、critical layer $y = y_c$ における x 方向速度成分の平均値 \bar{U} であるから、実験値との比較のためには A の次式によつて変換する方が便利である。

$$(\sqrt{\bar{U}^2})_{\max} / \bar{U}_0 = \sqrt{2} A |F_i'(y_c)| \quad (6.1)$$

この式によつて計算すると、例えば $R = 10^4$ のとき、 $|F_i'(y_c)| = 2.23$ 、 $A_N = 0.0904$ から $(\sqrt{\bar{U}^2})_{\max}$ の限界値は \bar{U}_0 の 28% となる。同様に計算から $R = 2 \times 10^4$ に対しては 20%， $R = 5 \times 10^4$ に対しては 16% という限界値が得られる。これらの値は、平板境界層についての Klebanoff 等¹⁾ の測定値 9% に比べて大きすぎるように思われる。この違いはもちろん境界層流と Poiseuille 流との速度分布形の違いによるであろうが、理論で有略されて三次元性の効果が最も大きく作用しているのではないかと想像される。

- 1) Klebanoff et al. (1962) JFM 12, 1.
- 2) Tani (1969) Annual Review of Fluid Mechanics, 1, 169.
- 3) Lin (1955) Hydrodynamic Stability. Cambridge Univ. Press.
- 4) Stuart (1960) JFM 9, 353.
- 5) Itoh (1974) Trans. Japan Soc. Aero. Space Sci. 17, 175.
- 6) 伊藤(1975) 数理解析研講究録 244, 13.

7) Landahl (1972) JFM 56, 775. 8) Whitham (1965) Proc. Roy. Soc. A 283, 238. 9) Stewartson (1975)

Fluid Dynamic Transaction, I, 101. 10) Whitham (1974) Linear and Nonlinear Waves. John Wiley & Sons.

11) Itoh (1974) Trans. Japan Soc. Aero. Space Sci. 17, 65.

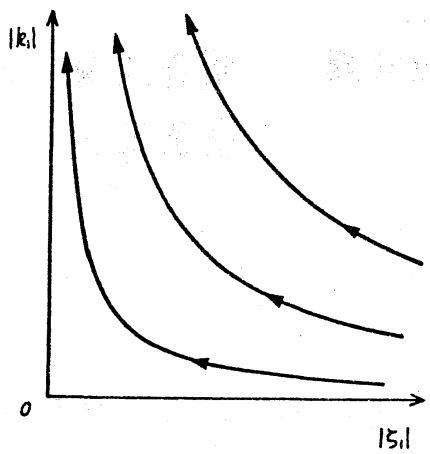


図 1

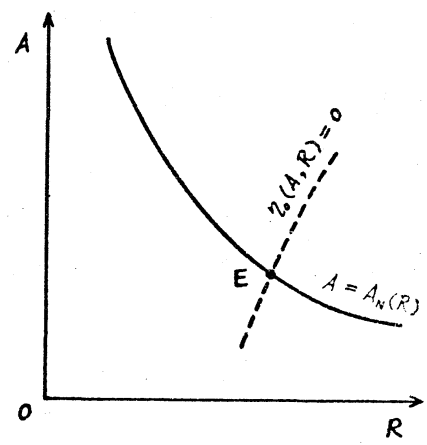


図 2

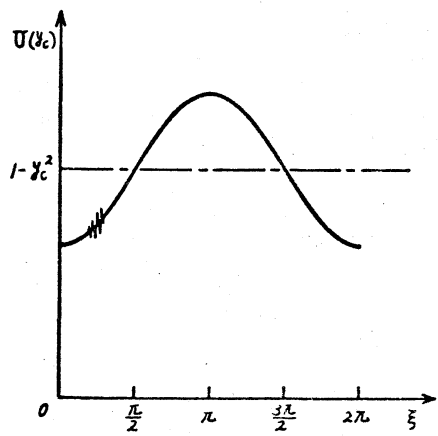


図 5

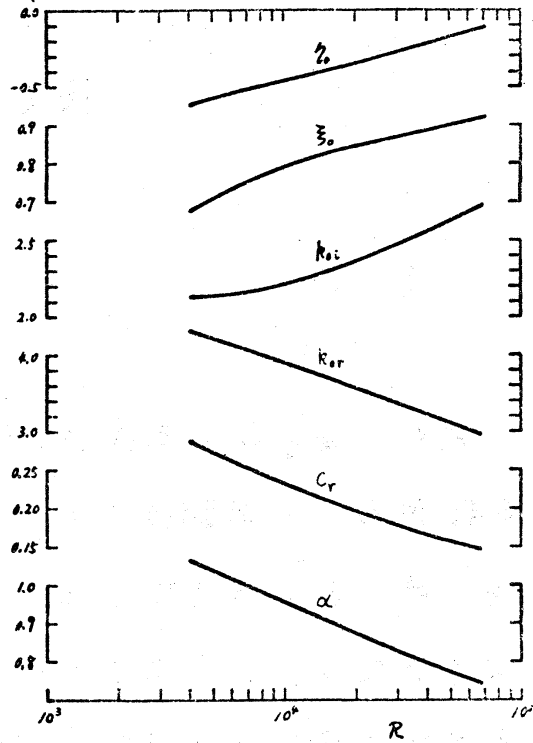


図 3

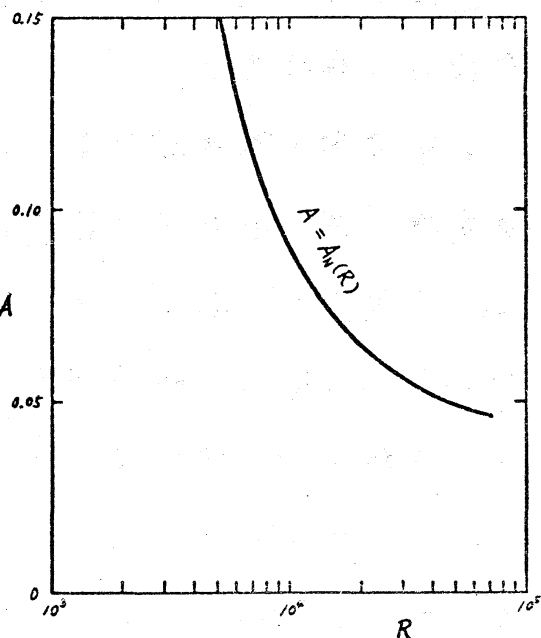


図 4